

Katowice, dn. 2023-01-09

T-Mobile Polska S.A.
ul. Marynarska 12
02-674 Warszawa

Pełnomocnik: Joanna Szmytka
Pełnomocnictwo numer: 159/01/21
z dnia: 2021-01-13

dane do korespondencji:

NetWorkS! Sp. z o.o.

ul. Józefa Piusa Dziekońskiego 3
00-728 Warszawa
tel. 506401236

Starostwo Powiatowe w Nowym Sączu

ul. Jagiellońska 33

33-300 Nowy Sącz

Dotyczy: ustawowego obowiązku, wynikającego z art. 152 ust. 1 i ust. 7 w związku z ust. 6 pkt 1c ustawy z dnia 27 kwietnia 2001r – Prawo ochrony środowiska (Dz.U. z 2021r. poz. 1973 z późn. zm.).

Działając z upoważnienia T-Mobile Polska S.A. z siedzibą ul. Marynarska 12, 02-674 Warszawa, **informuję o zmianie danych w zakresie wielkości i rodzaju emisji** dla instalacji radiokomunikacyjnej **57314 (26314N!) KNO_KRYNICA_MOCHNACZKA** zlokalizowanej w miejscowości PIORUNKA DZ.243/1. W stosunku do informacji zawartej w zgłoszeniu realizowanym dla tej instalacji w trybie art. 152 ust. 1 i 5 ustawy z dnia 27 kwietnia 2001r – Prawo ochrony środowiska (Dz.U. z 2021r. poz. 1973 z późn. zm.), dane ulegają zmianie w następujący sposób:

9. Wielkość i rodzaj emisji²⁾:

Pole elektromagnetyczne. EIRP poszczególnych anten zostało podane w pkt 12, tj.

Lp.	Równoważna moc promieniowana izotropowo (EIRP) [W]
1.	21978
2.	21978
3.	21978
4.	2345

12. Szczegółowe dane, odpowiednio do rodzaju instalacji, zgodne z wymaganiami określonymi w załączniku nr 2 do Rozporządzenia:

Lp.	1)	2)	3)	4)	5)	
	Współrzędne geograficzne	Częstotliwość lub zakresy częstotliwości pracy instalacji [MHz]	Wysokość środka elektrycznego anteny [m n.p.t]	Równoważna moc promieniowana izotropowo (EIRP) [W]	Azymut [°]	Kąt pochylenia lub zakresy kątów pochylenia [°]
1.	20°57'52.74" 49°27'59.45"	800/900/1800/ 2100	61.5	21978	40	5/6/5/5
2.	20°57'52.68" 49°27'59.28"	800/900/1800/ 2100	61.5	21978	160	6/6/6/6
3.	20°57'52.49" 49°27'59.41"	800/900/1800/ 2100	61.5	21978	290	6/6/6/6
4.	20°57'52.52" 49°27'59.32"	23000	60.4	2345	223*	nd.

*) tolerancja azymutu od -10° do + 10°.

Informuję, iż dokonane zmiany w zakresie wielkości i rodzaju emisji przedmiotowej instalacji nie powodują zmiany instalacji w sposób istotny zgodnie z art. 3 pkt 7 ustawy Poś.



Signed by /
Podpisano przez:

Joanna Szmytka

Date / Data:
2023-01-09
11:21

W załączniku przesyłam:

1. Pełnomocnictwo
2. Kopia potwierdzenia wniesienia opłaty skarbowej.
3. Sprawozdanie z pomiarów pól elektromagnetycznych wykonanych dla celów ochrony środowiska.

Otrzymują:

1. a/a
2. adresat



Laboratorium Badań Środowiskowych
ul. Józefa Piusa Dziekońskiego 3
00-728 Warszawa
e-mail: Laboratorium@networks.pl



AB 419

S P R A W O Z D A N I E 8794/2022/OS
Z POMIARÓW PÓL ELEKTROMAGNETYCZNYCH
WYKONANYCH DLA POTRZEB OCHRONY ŚRODOWISKA

Badany obiekt: Instalacja radiokomunikacyjna T-Mobile Polska S.A.
Numer i nazwa: 57314 (26314N!) KNO_KRYNICA_MOCHNACZKA
Adres: PIORUNKA DZ.243/1, Powiat nowosądecki, WOJ. MAŁOPOLSKIE

Data wykonania pomiarów: 2022-12-01

Sprawozdanie z badań bez pisemnej zgody laboratorium nie może być powielane inaczej niż w całości.
Wynik przedstawione w niniejszym sprawozdaniu odnoszą się wyłącznie do badanego obiektu i do warunków i konfiguracji urządzeń w dniu wykonywania pomiarów.

1. Właściciel badanego obiektu:

T-Mobile Polska S.A., ul. Marynarska 12, 02-674 Warszawa

2. Zleceniodawca:

T-Mobile Polska S.A., ul. Marynarska 12, 02-674 Warszawa

3. Przedstawiciel zleceniodawcy:

NetWorkS! Sp.z o.o.

4. Zakres zlecenia:

Wykonanie badania i opracowanie sprawozdania z pomiarów natężenia pola elektrycznego i pola magnetycznego dla instalacji radiokomunikacyjnej T-Mobile Polska S.A. zlokalizowanej w miejscowości PIORUNKA DZ.243/1.

5. Cel zlecenia:

Wykonanie pomiarów pól elektromagnetycznych w otoczeniu instalacji radiokomunikacyjnej 57314 (26314N!) KNO_KRYNICA_MOCHNACZKA w odniesieniu do wymagań określonych w *Rozporządzeniu Ministra Klimatu z dnia 17 lutego 2020 r. w sprawie sposobów sprawdzania dotrzymania dopuszczalnych poziomów pól elektromagnetycznych w środowisku (Dz. U. 2020, poz. 258 z późn. zm. w Dz.U. 2022 poz. 1121)*.

6. Pomiary zostały wykonane przez:

Papka Paweł
Supernak Jacek

7. Informacje o źródłach pól elektromagnetycznych

7.1. Sposób identyfikacji badanych źródeł pól elektromagnetycznych

Identyfikacji źródeł i parametrów technicznych dokonano na podstawie analizy dokumentacji dotyczącej zlecenia oraz obserwacji miejsca wykonywania badań.

7.2. Opis miejsca zainstalowania anten i urządzeń technicznych. Opis obiektu badań i jego otoczenia

Instalacja radiokomunikacyjna zlokalizowana jest na terenie ogrodzonym. Anteny zawieszono na wieży kratowej. Urządzenia sterujące oraz zasilające zainstalowano w kontenerze u podstawy wieży. Wokół instalacji Wieś, tereny zielone, las.

Instalacja radiokomunikacyjna jest obiektem bezobsługowym. Okresowe stanowiska pracy związane są z prowadzonymi w zależności od potrzeb konserwacjami, przeglądami, strojeniem i naprawami.

7.3. Parametry techniczne źródła pola elektromagnetycznego

Dane przedstawiające maksymalne parametry pracy instalacji przekazane przez zleceniodawcę:

Parametry systemu nadawczo-odbiorczego:

Charakterystyka promieniowania		kierunkowa					
Rzeczywisty czas pracy [h/dobę]		24					
Warunki pracy		znamionowe					
Rodzaj wytwarzanego pola		stacjonarne					
Lp.	Częstotliwość lub zakresy częstotliwości pracy [MHz]	Typ/producent anteny	liczba anten	Azymut [°]	kąt pochylenia* [°]	Wysokość środka elektrycznego anteny [m n.p.t.]	Równoważna moc promieniowana izotropowo (EIRP) [W]
1	800/900/1800/2100	AQU4518R25v18 Huawei	1	40	5/6/5/5	61.5	21978
2	800/900/1800/2100	AQU4518R25v18 Huawei	1	160	6/6/6/6	61.5	21978
3	800/900/1800/2100	AQU4518R25v18 Huawei	1	290	6/6/6/6	61.5	21978

* wskazane wartości kąta pochylenia anten, zgodnie z informacją uzyskaną od zleceniodawcy, są wartościami stałymi

Parametry radiolinii:

Charakterystyka promieniowania		kierunkowa					
Rzeczywisty czas pracy [h/dobę]		24					
Warunki pracy		znamionowe					
Rodzaj wytwarzanego pola		stacjonarne					
Lp.	Linia radiowa			Antena			
	Typ/ Producent	Częstotliwość pracy [GHz]	Równoważna moc promieniowana izotropowo (EIRP) [W]	Typ/ producent	Średnica anteny [m]	Azymut [°]	Wysokość zainstalowania n.p.t [m]
1.	RTN XMC-3E 23G 28MHz XPIC Huawei	23	2345	A23D80S06 Huawei	0.6	223	60.4

7.4 Inne źródła pól elektromagnetycznych

Na podstawie informacji otrzymanych od użytkownika oraz obserwacji otoczenia miejsca wykonywania pomiarów nie stwierdzono występowania innych źródeł pola-EM

8. Opis pomiarów

8.1. Metoda badań

Zgodna z rozporządzeniem Ministra Klimatu z dnia 17 lutego 2020 r. w sprawie sposobów sprawdzania dotrzymania dopuszczalnych poziomów pól elektromagnetycznych w środowisku (Dz. U. 2020, poz. 258 z późn. zm. w Dz.U. 2022 poz. 1121), określona w pkt 25 ppkt 1 załącznika do niniejszego rozporządzenia.

Zgodnie z art. 122a ust. 1b ustawy Prawo Ochrony Środowiska, w przypadku wprowadzenia na części albo całym terytorium Rzeczypospolitej Polskiej stanu nadzwyczajnego, o którym mowa w art. 228 ust. 1 Konstytucji Rzeczypospolitej Polskiej z dnia 2 kwietnia 1997 r. (Dz. U. poz. 483, z 2001 r. poz. 319, z 2006 r. poz. 1471 oraz z 2009 r. poz. 946), lub stanu zagrożenia epidemicznego lub stanu epidemii, o których mowa w art. 46 ustawy z dnia 5 grudnia 2008 r. o zapobieganiu oraz zwalczaniu zakażeń i chorób zakaźnych u ludzi (Dz. U. z 2019 r. poz. 1239, z późn. zm.8)), pomiarów , nie przeprowadza się w lokalach mieszkalnych oraz w lokalach użytkowych zlokalizowanych na terytorium objętym stanem nadzwyczajnym, stanem zagrożenia epidemicznego lub stanem epidemii.

W związku z obecnie obowiązującym stanem zagrożenia epidemicznego, pomiarów nie wykonano w lokalach mieszkalnych oraz w lokalach użytkowych zlokalizowanych w obszarze pomiarowym przedmiotowej instalacji radiokomunikacyjnej.

8.2. Termin pomiarów i warunki środowiskowe

Podczas wykonywania pomiarów pól elektromagnetycznych nie występowały opady atmosferyczne. Wyniki pomiaru parametrów pogodowych przedstawia poniższa tabela:

Data [rrrr-mm-dd]	Godzina [hh:mm-hh:mm]	Warunki środowiskowe			
		Temperatura [°C]		Wilgotność względna [%]	
2022-12-01	13:35-14:45	Przed pomiarem	Po pomiarach	Przed pomiarem	Po pomiarach
		0.7	0.6	71.2	72.0

Przedstawione wyżej warunki środowiskowe, występujące podczas wykonywania pomiarów pól elektromagnetycznych, są zgodne ze specyfikacją techniczną użytego zestawu pomiarowego.

8.3. Warunki pracy urządzeń nadawczych

Podczas pomiarów w przypadku uzyskania wyniku pomiaru szerokopasmowego wykonanego zastosowaną metodą, dla zakresów częstotliwości od 10 MHz do 300 GHz, powiększonego o rozszerzoną niepewność pomiaru U dla współczynnika rozszerzenia $k = 2$ przekraczającego 70% najniższej dopuszczalnej wartości składowej elektrycznej lub magnetycznej pola dla objętych pomiarami zakresów częstotliwości, uwzględnia się poprawki pomiarowe przekazane przez zleceniodawcę, umożliwiające uwzględnienie maksymalnych parametrów pracy instalacji zgodnie z pkt 7 załącznika do Rozporządzeniem Ministra Klimatu z dnia 17 lutego 2020 r. w sprawie sposobów sprawdzania dotrzymania dopuszczalnych poziomów pól elektromagnetycznych w środowisku (Dz. U. 2020, poz. 258 z późn. zm. w Dz.U. 2022 poz. 1121) zaznaczając, że wymagane jest wykonanie pomiaru z wykorzystaniem miernika selektywnego. W przypadku uzyskania wyniku pomiaru szerokopasmowego wykonanego zastosowaną metodą, dla zakresów częstotliwości od 10 MHz do 300 GHz, powiększonego o rozszerzoną niepewność pomiaru U dla współczynnika rozszerzenia $k = 2$ nieprzekraczającego 70% najniższej dopuszczalnej wartości składowej elektrycznej lub magnetycznej pola dla objętych pomiarami zakresów częstotliwości, nie uwzględnia się poprawek pomiarowych.

8.4. Wyposażenie pomiarowe

Zestaw pomiarowy służący do pomiaru natężenia składowej elektrycznej pola elektromagnetycznego złożony z szerokopasmowego miernika i sondy pomiarowej:

Oznaczenie miernika	Producent	Model	Numer fabryczny	Oznaczenie sondy	Producent	Model	Numer fabryczny
MW-03	Wavecontrol	Miernik pól elektromagnetycznych SMP2	22SN1954	SW-05	Wavecontrol	Sonda WPF60	22WP230194

Mierniki natężenia pola elektromagnetycznego podlegają okresowemu sprawdzeniu zgodnie z procedurą wewnętrzną P-03 i PB-01. Świadectwo wzorcowania zestawu pomiarowego z dnia 10 czerwca 2022 o numerze LWiMP/W/156/22 wydane przez Politechnika Wrocławską.

Data ważności świadectwa wzorcowania: 10 czerwca 2024 (zgodnie z procedurą wewnętrzną P-03).

Sprawozdanie z badań bez pisemnej zgody laboratorium nie może być powielane inaczej niż w całości. Wynik przedstawione w niniejszym sprawozdaniu odnoszą się wyłącznie do badanego obiektu i do warunków i konfiguracji urządzeń w dniu wykonywania pomiarów.

Termohigrometr:

Oznaczenie:	TH-16	Producent:	AZ INSTRUMENT CORP	Model:	Termohigrometr AZ8706
-------------	-------	------------	--------------------	--------	-----------------------

Data ważności świadectwa wzorcowania: 19 maja 2024 (zgodnie z procedurą wewnętrzną P-03).

Dalmierz:

Oznaczenie	Producent	Typ	Numer seryjny	Nr świadectwa wzorcowania	Data świadectwa wzorcowania
D-18	Leica	Dalmierz Leica Disto D510	1096585932	L4- L41.4180.205.2021.4102.2	16 grudnia 2021

Data ważności świadectwa wzorcowania: 16 grudnia 2031 (zgodnie z procedurą wewnętrzną P-03).

9. Wyniki pomiarów

Pole elektryczne

Nr pionu	Opis umiejscowienia pionu (punktu pomiarowego)	Wysokość pomiaru [m]	Zmierzona wartość natężenia pola elektrycznego E [V/m] ^{1,5}	Wartość natężenia pola elektrycznego powiększona o niepewność pomiaru ⁴ E [V/m]	Wskaźnikowa wartość poziomu emisji pól elektromagnetycznych WM _E ³	Współrzędne geograficzne pionu (punktu pomiarowego) ²
1	GKP w odległości 8m od anteny sektorowej az. 40°	0.3-2.0	<1.0*	1.6	0.06	49°27'59.8" 20°57'52.9"
2	GKP w odległości 33m od anteny sektorowej az. 40°	0.3-2.0	<1.0*	1.6	0.06	49°28'0.1" 20°57'53.6"
3	GKP w odległości 58m od anteny sektorowej az. 40°	0.3-2.0	<1.0*	1.6	0.06	49°28'0.8" 20°57'54.7"
4	GKP w odległości 83m od anteny sektorowej az. 40°	0.3-2.0	<1.0*	1.6	0.06	49°28'1.6" 20°57'55.4"
5	GKP w odległości 8m od anteny sektorowej az. 160°	0.3-2.0	<1.0*	1.6	0.06	49°27'59.0" 20°57'52.9"
6	GKP w odległości 33m od anteny sektorowej az. 160°	0.3-2.0	<1.0*	1.6	0.06	49°27'58.3" 20°57'53.3"
7	GKP w odległości 58m od anteny sektorowej az. 160°	0.3-2.0	<1.0*	1.6	0.06	49°27'57.6" 20°57'53.6"
8	GKP w odległości 83m od anteny sektorowej az. 160°	0.3-2.0	<1.0*	1.6	0.06	49°27'56.9" 20°57'54.0"
9	GKP w odległości 8m od anteny radioliniowej az. 223°	0.3-2.0	<1.0*	1.6	0.06	49°27'59.0" 20°57'52.2"
10	GKP w odległości 33m od anteny radioliniowej az. 223°	0.3-2.0	<1.0*	1.6	0.06	49°27'58.7" 20°57'51.5"
11	GKP w odległości 58m od anteny radioliniowej az. 223°	0.3-2.0	<1.0*	1.6	0.06	49°27'58.0" 20°57'50.4"
12	GKP w odległości 8m od anteny sektorowej az. 290°	0.3-2.0	<1.0*	1.6	0.06	49°27'59.4" 20°57'52.2"
13	GKP w odległości 33m od anteny sektorowej az. 290°	0.3-2.0	<1.0*	1.6	0.06	49°27'59.8" 20°57'51.1"
14	GKP w odległości 58m od anteny	0.3-2.0	<1.0*	1.6	0.06	49°28'0.1" 20°57'49.7"

Sprawozdanie z badań bez pisemnej zgody laboratorium nie może być powielane inaczej niż w całości.
Wynik przedstawione w niniejszym sprawozdaniu odnoszą się wyłącznie do badanego obiektu i do warunków i konfiguracji urządzeń w dniu wykonywania pomiarów.

	sektorowej az. 290°					
15	GKP w odległości 83m od anteny sektorowej az. 290°	0.3-2.0	<1.0*	1.6	0.06	49°28'0.5" 20°57'48.6"
16	PPP na az. 4° w odległości 58m od anteny sektorowej az. 40°	0.3-2.0	<1.0*	1.6	0.06	49°28'1.2" 20°57'52.9"
17	PPP na az. 97° w odległości 54m od anteny sektorowej az. 40°	0.3-2.0	<1.0*	1.6	0.06	49°27'59.4" 20°57'55.4"
18	PPP na az. 138° w odległości 71m od anteny sektorowej az. 160°	0.3-2.0	<1.0*	1.6	0.06	49°27'57.6" 20°57'55.1"
19	PPP na az. 184° w odległości 66m od anteny sektorowej az. 160°	0.3-2.0	<1.0*	1.6	0.06	49°27'57.2" 20°57'52.6"
20	PPP na az. 270° w odległości 67m od anteny sektorowej az. 290°	0.3-2.0	<1.0*	1.6	0.06	49°27'59.4" 20°57'49.0"
21	PPP na az. 307° w odległości 73m od anteny sektorowej az. 290°	0.3-2.0	<1.0*	1.6	0.06	49°28'0.8" 20°57'49.7"
-	GKP w odległości 349m od anteny sektorowej az. 40°	0.3-2.0	<1.0*	1.6	0.06	49°28'8.0" 20°58'3.7"
-	GKP w odległości 317m od anteny sektorowej az. 160°	0.3-2.0	<1.0*	1.6	0.06	49°27'49.7" 20°57'58.0"
-	GKP w odległości 503m od anteny sektorowej az. 290°	0.3-2.0	<1.0*	1.6	0.06	49°28'4.8" 20°57'28.8"

Pole magnetyczne (wyznaczone na podstawie pomiaru wartości natężenia pola elektrycznego)

Nr pionu	Opis umiejscowienia pionu (punktu pomiarowego)	Wysokość pomiaru [m]	Wartość natężenia pola magnetycznego H [A/m] ¹	Wartość natężenia pola magnetycznego powiększona o niepewność pomiaru ⁴ H [A/m]	Wskaźnikowa wartość poziomu emisji pól elektromagnetycznych WM _H ³	Współrzędne geograficzne pionu (punktu pomiarowego) ²
1	GKP w odległości 8m od anteny sektorowej az. 40°	0.3-2.0	<0.003*	0.004	0.06	49°27'59.8" 20°57'52.9"
2	GKP w odległości 33m od anteny sektorowej az. 40°	0.3-2.0	<0.003*	0.004	0.06	49°28'0.1" 20°57'53.6"
3	GKP w odległości 58m od anteny sektorowej az. 40°	0.3-2.0	<0.003*	0.004	0.06	49°28'0.8" 20°57'54.7"
4	GKP w odległości 83m od anteny sektorowej az. 40°	0.3-2.0	<0.003*	0.004	0.06	49°28'1.6" 20°57'55.4"
5	GKP w odległości 8m od anteny sektorowej az. 160°	0.3-2.0	<0.003*	0.004	0.06	49°27'59.0" 20°57'52.9"
6	GKP w odległości 33m od anteny sektorowej az. 160°	0.3-2.0	<0.003*	0.004	0.06	49°27'58.3" 20°57'53.3"
7	GKP w odległości 58m od anteny sektorowej az. 160°	0.3-2.0	<0.003*	0.004	0.06	49°27'57.6" 20°57'53.6"

Sprawozdanie z badań bez pisemnej zgody laboratorium nie może być powielane inaczej niż w całości.
Wynik przedstawione w niniejszym sprawozdaniu odnoszą się wyłącznie do badanego obiektu i do warunków i konfiguracji urządzeń w dniu wykonywania pomiarów.

8	GKP w odległości 83m od anteny sektorowej az. 160°	0.3-2.0	<0.003*	0.004	0.06	49°27'56.9" 20°57'54.0"
9	GKP w odległości 8m od anteny radioliniowej az. 223°	0.3-2.0	<0.003*	0.004	0.06	49°27'59.0" 20°57'52.2"
10	GKP w odległości 33m od anteny radioliniowej az. 223°	0.3-2.0	<0.003*	0.004	0.06	49°27'58.7" 20°57'51.5"
11	GKP w odległości 58m od anteny radioliniowej az. 223°	0.3-2.0	<0.003*	0.004	0.06	49°27'58.0" 20°57'50.4"
12	GKP w odległości 8m od anteny sektorowej az. 290°	0.3-2.0	<0.003*	0.004	0.06	49°27'59.4" 20°57'52.2"
13	GKP w odległości 33m od anteny sektorowej az. 290°	0.3-2.0	<0.003*	0.004	0.06	49°27'59.8" 20°57'51.1"
14	GKP w odległości 58m od anteny sektorowej az. 290°	0.3-2.0	<0.003*	0.004	0.06	49°28'0.1" 20°57'49.7"
15	GKP w odległości 83m od anteny sektorowej az. 290°	0.3-2.0	<0.003*	0.004	0.06	49°28'0.5" 20°57'48.6"
16	PPP na az. 4° w odległości 58m od anteny sektorowej az. 40°	0.3-2.0	<0.003*	0.004	0.06	49°28'1.2" 20°57'52.9"
17	PPP na az. 97° w odległości 54m od anteny sektorowej az. 40°	0.3-2.0	<0.003*	0.004	0.06	49°27'59.4" 20°57'55.4"
18	PPP na az. 138° w odległości 71m od anteny sektorowej az. 160°	0.3-2.0	<0.003*	0.004	0.06	49°27'57.6" 20°57'55.1"
19	PPP na az. 184° w odległości 66m od anteny sektorowej az. 160°	0.3-2.0	<0.003*	0.004	0.06	49°27'57.2" 20°57'52.6"
20	PPP na az. 270° w odległości 67m od anteny sektorowej az. 290°	0.3-2.0	<0.003*	0.004	0.06	49°27'59.4" 20°57'49.0"
21	PPP na az. 307° w odległości 73m od anteny sektorowej az. 290°	0.3-2.0	<0.003*	0.004	0.06	49°28'0.8" 20°57'49.7"
-	GKP w odległości 349m od anteny sektorowej az. 40°	0.3-2.0	<0.003*	0.004	0.06	49°28'8.0" 20°58'3.7"
-	GKP w odległości 317m od anteny sektorowej az. 160°	0.3-2.0	<0.003*	0.004	0.06	49°27'49.7" 20°57'58.0"
-	GKP w odległości 503m od anteny sektorowej az. 290°	0.3-2.0	<0.003*	0.004	0.06	49°28'4.8" 20°57'28.8"

GKP – Główny Kierunek Pomiarowy

PPP – Pomocniczy Pion pomiarowy

¹ wyniki oznaczone * są wynikami poniżej czułości zestawu pomiarowego

² współrzędne geograficzne pozyskane metodą pomiaru bezpośredniego

³ do wyznaczenia wartości wskaźnikowej W_{ME} i W_{MH} przyjęto na podstawie uzgodnień z klientem oraz rozpoznania źródeł, jako wartości dopuszczalne pola elektrycznego i magnetycznego odpowiednio 28 V/m i 0,073 A/m.

⁴ do wyznaczenia niepewności dla wyników poniżej czułości zestawu pomiarowego, przyjęto niepewność dla minimalnej wartości z zakresu pomiarowego.

⁵ maksymalna wartość chwilowa

Sprawozdanie z badań bez pisemnej zgody laboratorium nie może być powielane inaczej niż w całości.
Wynik przedstawione w niniejszym sprawozdaniu odnoszą się wyłącznie do badanego obiektu i do warunków i konfiguracji urządzeń w dniu wykonywania pomiarów.

Niepewność oszacowano zgodnie z dokumentem P-03 „Procedura nadzoru nad wyposażeniem” w postaci niepewności rozszerzonej wynikającej z niepewności standardowej pomnożonej przez współczynnik rozszerzenia $k=2$.
Całkowita szacowana niepewność rozszerzona składowej E wynosi odpowiednio: 56.6% dla częstotliwości do 40 GHz

Umiejscowienie pionów (punktów) pomiarowych przedstawiono w załączniku nr 2 do niniejszego sprawozdania.

10. Omówienie wyników pomiarów

W związku z tym, że żadna z wartości zmierzonych, udokumentowanych w tabelach w pkt. 9, uzyskanych w skutek zastosowania pomiaru szerokopasmowego, powiększonego o rozszerzoną niepewność pomiaru U dla współczynnika rozszerzenia $k = 2$ nie przekroczyła 70% najniższej dopuszczalnej wartości składowej elektrycznej lub magnetycznej pola dla objętych pomiarami zakresów częstotliwości, nie uwzględnia się poprawek pomiarowych.

W wyniku zastosowania sposobu sprawdzenia dotrzymania dopuszczalnych poziomów pól elektromagnetycznych w środowisku, zgodnie pkt 25 ppkt 1 Rozporządzenia Ministra Klimatu z dnia 17 lutego 2020 r. (Dz. U. 2020, poz. 258 z późn. zm. w Dz.U. 2022 poz. 1121), w związku z tym, że żadna z wartości wskaźnikowych, udokumentowanych w tabelach w pkt. 9 nie przekracza wartości 1, stwierdza się, że w miejscach, w których wykonano pomiary w otoczeniu instalacji radiokomunikacyjnej 57314 (26314N!) KNO_KRYNICA_MOCHNACZKA, dopuszczalne poziomy pól elektromagnetycznych w środowisku należy uznać za dotrzymane.

11. Podstawa prawna

- 1) Ustawa z dnia 27 kwietnia 2001 r. Prawo ochrony środowiska (t. j. Dz. U. z 2021 r., poz. 1973 z późn.zm.)
- 2) Rozporządzenie Ministra Zdrowia z dnia 17 grudnia 2019 r. w sprawie dopuszczalnych poziomów pól elektromagnetycznych w środowisku (Dz. U. 2019, poz. 2448)
- 3) Rozporządzenie Ministra Klimatu z dnia 17 lutego 2020 r. w sprawie sposobów sprawdzania dotrzymania dopuszczalnych poziomów pól elektromagnetycznych w środowisku (Dz. U. 2020, poz. 258 z późn. zm. w Dz.U. 2022 poz. 1121),
- 4) Akredytacja nr AB 419 wydana przez Polskie Centrum Akredytacji (wydanie 20, z dnia 10 czerwca 2022r.).

12. Spis załączników

- Załącznik 1. Lokalizacja obiektu badań
- Załącznik 2. Usytuowanie pionów (punktów) pomiarowych
- Załącznik 3. Dokumentacja fotograficzna obiektu badań

13. Data wydania i autoryzowania sprawozdania

Obliczenia i sprawozdanie wykonał :



Signed by /
Podpisano przez:

Konrad Robert
Głowacki

Date / Data: 2022-
12-13 21:38

Sprawozdanie autoryzował:



Signed by /
Podpisano przez:

Anna Kacperska

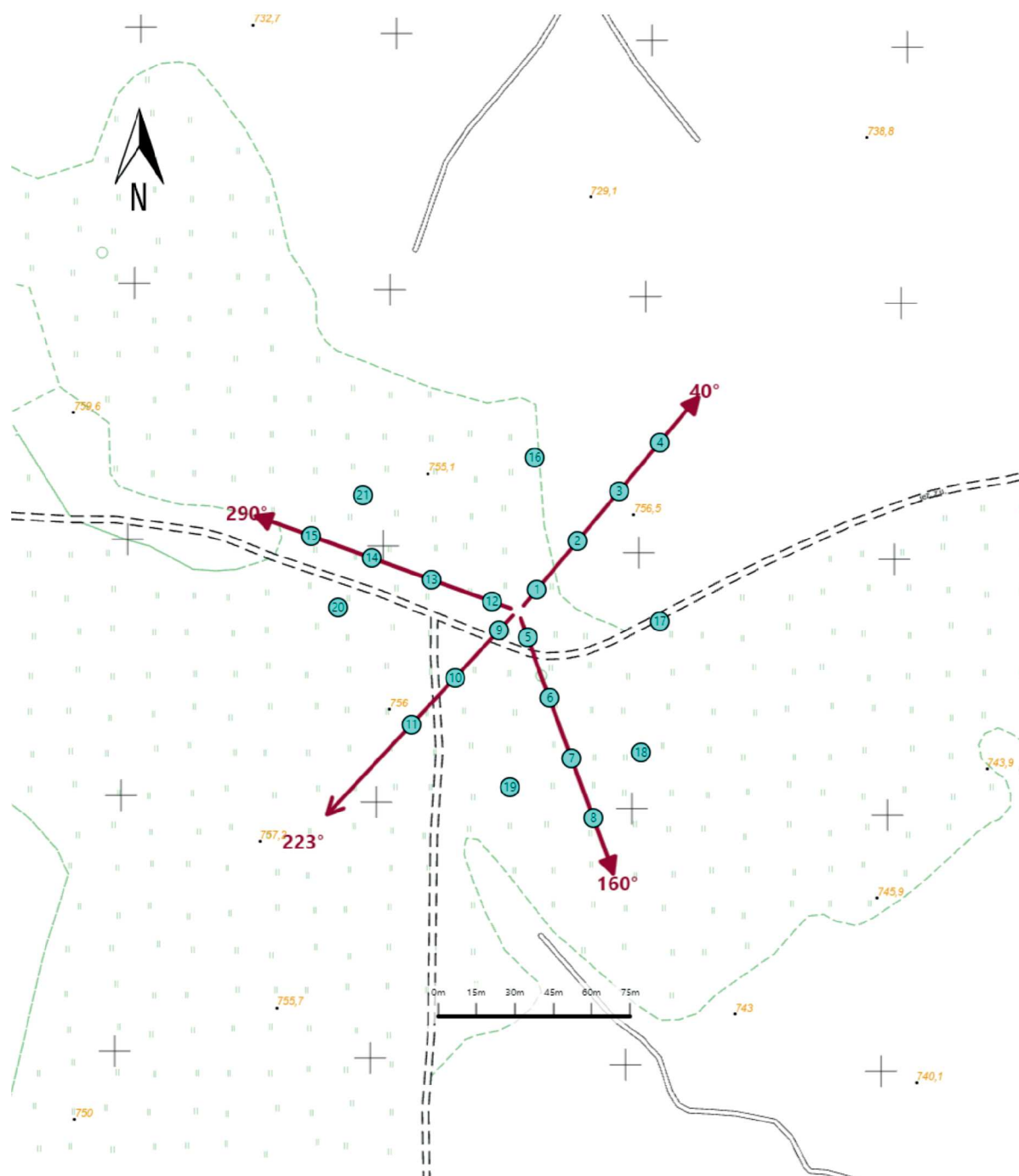
Date / Data:
2022-12-14
17:00

Koniec sprawozdania

Sprawozdanie z badań bez pisemnej zgody laboratorium nie może być powielane inaczej niż w całości.
Wynik przedstawione w niniejszym sprawozdaniu odnoszą się wyłącznie do badanego obiektu i do warunków i konfiguracji urządzeń w dniu wykonywania pomiarów.



Załącznik nr 1	<p>Instalacja radiokomunikacyjna T-Mobile Polska S.A. 57314 (26314N!) KNO_KRYNICA_MOCHNACZKA Lokalizacja instalacji</p>
----------------	--



<p>Załącznik nr 2</p>	<p style="text-align: center;">Instalacja radiokomunikacyjna T-Mobile Polska S.A. KNO_KRYNICA_MOCHNACZKA (26314N!) Usytuowanie pionów pomiarowych w otoczeniu instalacji radiokomunikacyjnej</p>
	<p>Legenda:</p> <div style="display: flex; justify-content: space-around; align-items: center;"> <div style="text-align: center;">  <p>Pion pomiarowy</p> </div> <div style="text-align: center;">  <p>Kierunek oddziaływania anten sektorowych</p> </div> <div style="text-align: center;">  <p>Kierunek oddziaływania anten radioliniowych</p> </div> </div>



Załącznik nr 3

**Instalacja radiokomunikacyjna T-Mobile Polska S.A.
57314 (26314N!) KNO_KRYNICA_MOCHNACZKA**

Dokumentacja fotograficzna